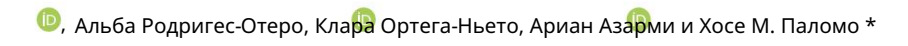




Статья

# Каталазоподобная активность НЧ металлов – биогибридов ферментов

Ноэлия Лосада-Гарсия





Институт катализа и нефти (ICP), CSIC, C/Marie Curie 2, 28049 Мадрид, Испания \* Адрес для переписки: josempalomo@icp.csic.es

Аннотация: В работе описан эффективный синтез бионаногибридов в виде искусственных металлоферментов (Cu, Pd, Ag, Mn), основанный на использовании фермента в качестве каркаса. Здесь мы оценили влияние изменения металла, рН среды и количества фермента на синтез этих искусственных металлоферментов, при котором происходят изменения вида металла и размера наночастиц . Эти нанозимы были применены при деградации пероксида водорода для их оценки в качестве имитаторов активности каталазы, лучшим из которых является Mn@CALB-H2O, который представляет наноструктуры MnO2 с трехкратной повышенной активностью по сравнению с видами Cu2O , CuNPs@CALB. -Р и свободная каталаза.

Ключевые слова: бионаногибриды металлов; нанозимы; каталазоподобная активность; пероксид водорода

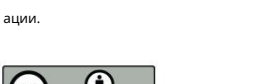
# check for

Образец цитирования: Лосада-Гарсия, Н.;
Родригес-Отеро, А.; Ортега-Ньето, К.;
Азарми, А.; Паломо, Дж. М. Каталазоподобная активность НЧ металлов – биогибридов ферментов. Прил. Нано 2022, 3, 149–
159. https://doi.org/10.3390/applnano3030011

Академический редактор: Анджело Мария Тальетти

Поступила: 16 июня 2022 г. Принято: 12 июля 2022 г. Опубликовано: 7 августа 2022 г.

Примечание издателя: MDPI сохраняет нейтралитет в отношении заявлений о юрисдикции в опубликованных картах и институциональной принадлежн



Копирайт: © 2022 авторов.

Лицензиат MDPI, Базель, Швейцария.

Эта статья находится в открытом доступе.
распространяется на условиях и
условия Creative Commons

Лицензия с указанием авторства (СС ВУ)
( https://creativecommons.org/licenses/by/
4.0/).

#### 1. Введение

Перекись водорода (H2O2) является побочным продуктом, вырабатываемым внутри клеток живых организмов и оказывающим на них губительное воздействие [1–4]. Каталазы — это ферменты, используемые клетками для удаления избытка цитоплазматической перекиси водорода путем преобразования ее в воду и молекулярный кислород. Однако если концентрация H2O2 увеличивается из-за болезни, радиационного воздействия, а также некоторых химических веществ и лекарств, которые превышают мощность каталазы, H2O2 начинает накапливаться и вызывать повреждение клеток [5–8]. С другой стороны, на активность фермента каталазы могут влиять различные условия окружающей среды, такие как ионная сила, рН и температура (T), или присутствие соединений, ингибирующих е

Бурное развитие нанотехнологий в последние десятилетия привело к созданию многочисленных каталитически активных наноматериалов [11]. В настоящее время наноматериалы различной природы широко используются в биологии, медицине и биотехнологии. В эту категорию входят наноматериалы с ферменто-миметическими свойствами, такие как металлические и неметаллические наночастицы, их оксиды, магнитные наночастицы, липосомы, а также полимерные и углеродные материалы [12–14]. Способность этих наноматериалов заменять определенные ферменты может открыть новые возможности для приложений на основе ферментов, таких как иммуноанализы, биосенсоры, фармацевтические процессы, онкотерапия, пищевая промышленность, экология и т. д. [15–18]. Это демонстрирует большую важность и коммерческий интерес к использованию наноматериалов в качестве миметиков ферментов. По сравнению с природными ферментами 
Нанозимы с присущей ферментной активностью в последнее время привлекли значительное внимание благодаря простоте их получения, хранения и разделения, а также низкой стоимости [18,19].

Одним из наиболее часто используемых металлов при создании искусственных металлоферментов является медь из-за ее распространенности, низкой стоимости и низкой токсичности. Хотя большая часть описанных в литературе активностей относится к материалам Cu(II), фактически недавно в нашей группе были разработаны Cu(II)-нанозимы с каталазной активностью [20].

В данной работе мы описываем синтез высокостабильных гетерогенных катализаторов наночастиц металлов (Си, Мп, Рd и Ag) (НЧ металлов – биогибридов ферментов), где НЧ создавались in situ из водного раствора соли металла (рис. 1A) [21,22]. Кроме того, мы показали, что эти бионаногибриды разной природы, например, других видов меди и разных металлов, поведения и размеров, обладают способностью полностью имитировать особую ферментативную активность каталазы, даже улучшая ее активность (рис. 1Б).

мы показали, что эти бионаногибриды разной природы, например, другие коппе виды и различные металлы, поведение и размеры обладают способностью полностью имитировать особую ферментативную активность каталазы, даже улучшая ее активность (рис. 1B).

Прил. Нано 2022, 3

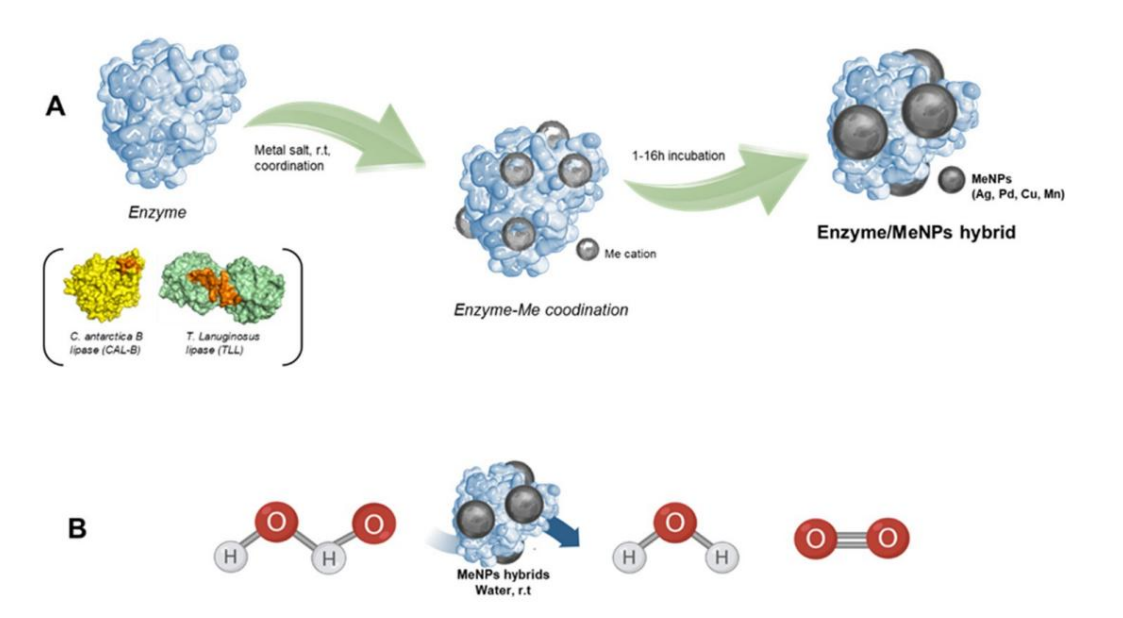


РИСУНОК 1: (A) ГИБРИДНЫЙ СИНГЕЗ МЕТИНИКСКИХ НЗ НВСТИЦНИ ФРИГЕРИЕВ 16 1; ТЕЗ КЕЗГОЗЗВЯТЬЯ В ТИБРЕЗ НВ НВСТИВНЕСТИЦНИ В РИСУНОК 1: (A) ГИБРИДНЫЙ СИНГЕЗ МЕТИНИЗЕСТИЦНИ.

ОТ В ТИБРИДНЫЙ ТОВ В ТИБРИДНЫЙ СИНГЕЗ МЕТИНИЗЕСТИЦНИ.

- 2. Материалы и методы 2<sub>2</sub>.Материалыны методы
- 2.1. Марритевор липазы В из Candida antarctica (CALB) и Catazyme® 25 л (каталаза из Aspergillus niger) были приобретены у Novozymes (Копенгаген Дания). Медь (II) Си2SO4 × 5H2OI, N.N-диметилформамида (ДМФ) и водорода Aspergillus niger) были приобретены у Novozymes (Копенгаген, Дания). Пероксид меди (II) (33% об./об.) был получен от Panreac (Барселона, Испания). Бикарбонат натрия, натрий пентагидрат сульфата [Cu2SO4 × 5H2O], N.N-диметилформамид (ДМФ), а также гидрофосфат, боргидрид натрия, перманганат калия, трис-основание и тетрапероксид натрия (33% по объему) от Panreac (Барселона, Испания). Испания и тетрапероксид натрия (33% по объему) от Panreac (Барселона, Испания), хлорпалладат натрия (II) были приобретены у Sigma-Aldrich (Сент-Луис, Миссури,

পু**্পাক্**নার্ভিক্রেপ্রান্ত্রান্ত্রপূর্ণ স্থান স্থান

Проведена оптико-эмиссионная спектрометрия с индуктивно связанной плазмой (ИСП-ОЭС).

2.ተ.ஐ. ИДИ В Я В В БЕТИМ В ЖАНО ДУ (РАЗ ЕДЕНДИЯ УОЛТЕМ, МАССАЧУСЕТС, США). Дифракция рентгеновского излучения характеристик (ХRD) былы получены с использованием дифрактометра для анализа текстуры D8 Advance (Bruker, Оптическая эмиссионная спектрометрия с индуктивно связанной плазмой (ICP-OES) была проведена в биллерике, Массачусетс, США) с Си Ко- излучением. Просвечивающая электронная микроскопия (ПЭМ) и формуровали на проведена в формуровали на проведением (ПЭМ) и получены на микроскоп разрешения (НКТЕМ) были формурования высометремирования в проведения проводили на микроскопе ТМ-1000 (Нітасні, Токио, Япония). Восстановить биоги- 2.3. Синтез бионаногибридов СиNPs@CALB Вгідѕ использовали охлаждаемую центрифугу Віосеп 22 R (Огто-Alresa, Аялвир, Испания). Спецификация: всего 3,6 мл коммерческой липазы в из раствора Сапойба апатастіса (САLВ; торфотометрический липазы в из раствора Сапойба апатастіса (САLВ; торфотометрический липазы в из раствора Сапойба апатастіса (САLВ; торфотометрический липазы в из раствора Сапойба апатастіса (САСВ;

трофотометрический анализ проводили на спекторфотометре У-730 (IASCO Токио Япония) 250 мл ГО МГ/МЛ) добавляли к бо МЛ О, 1 М буфера (фосфат натрия, рН 7,0) В 250 мл стеклянная бутыль с небольшой магнитной мешалкой. Затем 600 мг Cu2SO4 × 5H2O. 2-70 М/ЖВЗ ДУВЫВНЯГИЕВ ЗАСЬВУ и выдерживали в течение 16 часов. Через 16 часов,

Прил. Нано 2022, 3

было получено твердое вещество. Гибрид получил название CuNPs@CALB-P. Другой вариант протокола заключался в отказе от стадии лиофилизации и сохранении катализатора в виде жидкой суспензии. Это называлось CuNPs@CALB-P-NL.

151

Другие гибриды были синтезированы по ранее установленным протоколам в различных условиях рH, сушки и восстановления (таблица S1), которые были проверены в нашей работе [23]. Эти бионаногибриды получили названия CuNPs@CALB-P\*, CuNPs@CALB-B и CuNPs@CALB-B\*.

## 2.4. Синтез бионаногибридов MnNPs@CALB 2.4.1. Способ 1

Всего 3 мл коммерческого раствора САLВ (10 мг/мл) добавляли к 100 мл 0,1 М натрий-фосфатного буфера, рН 7,0, в стеклянной бутылке емкостью 250 мл, содержащей небольшую магнитную стержневую мешалку. Затем к раствору белка добавляли 70 мг MnSO4 × 5H2O (0,7 мг/мл) и выдерживали 16 ч. Через 16 ч к мутному раствору (в двух порциях по 3 мл) добавляли 6 мл водного раствора NaBH4 (300 мг) (1,2 М) в качестве восстановителя. Смесь кипятили в течение 30 мин. После инкубации смесь центрифугировали при 8000 об/мин в течение 5 мин при комнатной температуре (10 мл на пробирку типа «falcon» емкостью 15 мл). Образовавшийся осадок ресуспендировали в 15 мл дистиллированной воды. Снова центрифугировали при 8000 об/мин в течение 5 мин и удаляли надосадочную жидкость. Процесс повторился еще дважды. Наконец, надосадочную жидкость удаляли и осадок каждого сокола ресуспендировали в 2 мл дистиллированной воды; все растворы собирали в круглодонную колбу, замораживали жидким азотом и лиофилизировали в течение 16 ч. После этого было получено 47 мг MnNPs @CALB-P.

Другим вариантом протокола было отсутствие этапа восстановления с использованием натрийфосфатного буфера 25 мМ при рН 8,5. После этого было получено 58 мг MnNPs @CALB-P-NR .

#### 2.4.2. Способ 2

КМпО4 (500 мг) растворяли в 10 мл ДМФА или дистиллированной воды. Этот раствор добавляли к 40 мл раствора дистиллированной воды, содержащего 2 мл САLВ (10 мг/мл). Конечный раствор выдерживали при слабом перемешивании магнитной мешалкой в течение 24 часов при комнатной температуре (КТ). После этого полученную суспензию разделяли центрифугированием (10 000 об/мин; 4 С; 15 мг Восстановленный осадок промывали один раз 10 мл дистиллированной воды, содержащей 20% (по объему) соответствующего сорастворителя, и дважды дистиллированной водой (2 × 10 мл). После этого суспензию непосредственно лиофилизировали с получением катализатора в виде порошка для последующего использования. После этого ок. Было получено по 350 мг каждого бионаногибрида, названного MnNPs@CALB-H2O и MnNPs@CALB-DMF соответственно.

#### 2.5. Синтез бионаногибридов MeNPs@CATb

AgNO3 (20 мг) или Na2PdCl4 (10 мг) растворяли в 5 мл раствора дистиллированной воды , содержащего 7,5 мг бычьей каталазы (CATb). Раствор выдерживали при слабом магнитном перемешивании в течение 24 часов при комнатной температуре. После этого полученную суспензию разделяли центрифугированием (8000 об/мин; 4 С; 15 мин). Восстановленный осадок трижды промывали по 10 мл дистиллированной воды. После этого суспензию непосредственно лиофилизировали. Бионаногибриды получили названия AgNPs@CATb и PdNPs@CATb.

Характеризацию бионаногибридов различных металлов проводили методами XRD, ICP-OES, TEM, HR-TEM и SEM-анализ.

#### 2.6. Каталазоподобная активность бионаногибридов

металлов. Раствор перекиси водорода (H2O2) (33% (мас./мас)) готовили добавлением 52 мкл перекиси водорода к 9,8 мл 100 мМ или 5 мМ фосфатного буфера (pH 6,0, pH 7,0 и pH 8,0), 5 мМ трис-базовый буфер pH 9, 5 мМ МЕЅ-буфер pH 5 или дистиллированную воду для получения конечной концентрации 50 мМ. pH раствора регулировали с помощью HCl или 1 М NaOH. Для начала реакции к 3 или 10 мл добавляли различные количества гибридов MeNP (2 мг или 4,5 мг) или 50 мкл Catazyme® 25 L (31 мг/мл). 50 мМ раствора

Прил. Нано 2022. 3

в РТ. За реакцией следили путем измерения разложения пероксида водорода, регистрируя уменьшение поглощения спектрофотометрически при 240 нм в кварцевых кюветах с длиной пути 1 см путем добавления 2 мл этого раствора в разное время. Эксперименты проводились в трех повторностях.

Чтобы определить активность каталазы для каждого катализатора, значение Abs/мин рассчитывали с использованием линейного участка кривой ( Abss). Удельную активность (Ед/мг) рассчитывали по следующему уравнению:

152

где использованный молярный коэффициент экстинкции (ε) составлял 43,6 M-1 , и mgcatalyst относится к см-1 мг фермента или гибридного металла.

#### 3. Результаты

## 3.1. Синтез и характеристика биогибридов MeNPs@Enzyme. Синтез

биогибридов MeNPs@Enzyme проводили в водной среде с использованием коммерческого раствора липазы В Candida antarctica (CAL-B) или бычьей каталазы (CATb). Этот фермент предварительно растворяли в дистиллированной воде, а соль металла предварительно растворяли в сорастворителе (20% (об./об)) или добавляли непосредственно к водному раствору при комнатной температуре и при осторожном перемешивании. Через 30 мин исходный прозрачный раствор превращался в слегка мутную суспензию, которая полностью мутнела через 16-24 ч инкубации. Твердое вещество было легко получено после центрифугирования, которое сначала промывалось тем же реакционным растворителем, а затем дистиллированной водой и, наконец, замораживалось в жидком азоте и лиофилизировалось, давая гибрид MeNPs@CALB. В некоторых случаях было необходимо добавить этап восстановления с использованием NaBH4 после инкубации, поскольку, хотя фермент CALB, используемый в качестве каркаса, индуцирует восстановление металлов, в металлах с низким потенциалом восстановления, таких как переходные металлы, такие как Си, Fe, Mn, Zn, Co и т. д., необходим дополнительный этап восстановления для получения видов из состояний с более низкой валентностью.

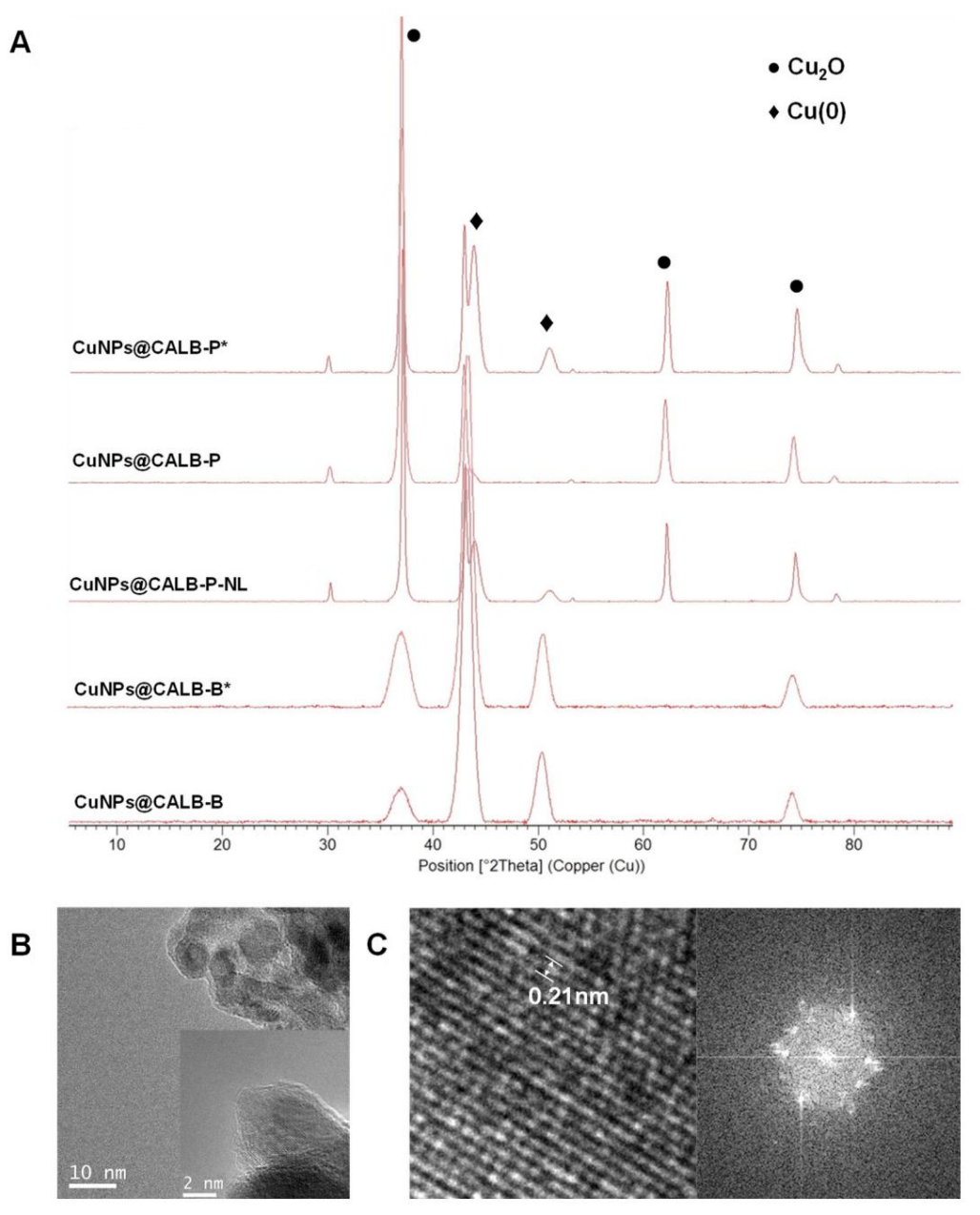
Во-первых, биогибриды CuNPs@CALB были проанализированы с помощью XRD, продемонстрировав различия между видами в зависимости от гибридов (рис. 2A). Когда бионаногибриды содержали 0,6 мг/мл фермента, были получены CuNPs@CALB-P и CuNPs@CALB-B . В этих катализаторах можно было увидеть практически уникальные виды меди Cu2O (хорошо соответствует номеру карты JCPDS 05-0667) или Cu(0) (хорошо соответствует номеру карты JCPDS 04-0836) соответственно.

Однако когда количество фермента было меньше (0,3 мг/мл), гибриды, синтезированные по этим протоколам, CuNPs@CALB-P\* и CuNPs@CALB-B\*, содержали обе разновидности меди, Cu2O и Cu(0). В случае CuNPs@CALB-P\* в нем содержалось 40% Cu(0) (рис. 2A), а в случае CuNPs@CALB-B\* — 30% частиц Cu(I). Эти различия могут быть связаны с действием фермента на стадии восстановления, поскольку белковая среда замедляет процесс восстановления. Анализ ПЭМ продемонстрировал образование наночастиц с разным размером диаметра (рисунки 2 и S1) в диапазоне от 6 до 15 нм (таблица S1), самые маленькие из которых находятся в CuNPs@CALB-B (рисунок S1D).

Еще одной модификацией протокола синтеза стало исключение этапа лиофилизации, что привело к получению CuNPs@CALB-P-NL. Анализируя рентгенограмму, можно было наблюдать незамерзание структуры фермента; виды этого бионаногибрида представляют собой смесь разновидностей меди [Cu2O и Cu(0) (75:25 ПЭМ-анализ показал, что размер диаметра наночастиц был таким же, как и у CuNPs@CALB-P, а именно 10 нм (таблица S1).

Количество Cu в твердом веществе определяли с помощью ICP-OES-анализа. Проценты Содержание меди в различных гибридах CuNPs@CALB составляло от 45% до 93% (таблица S1).

Преденани 2022, 3. НА ЭКСПЕРТНУЮ 5 153



PUNCHARE 2(1) APPETITE HAGBERTON CHERUBORD SON TO BOUND SECOND SE

Другой едодифи масция й эпразлок солянстин резан бы (тоо лис МИКУСНИ) в лис фий фасфил ном буфере. эталля результыемомира оболерязувлой бику в фанном случае нафениру на презультыем в данном случае нафениру на презультыем оборна и оборна

Количество Cu в твердом веществе определяли с помощью ICP-OES-анализа. Проценты Содержание меди в различных гибридах CuNPs@CALB составляло от 45% до 93% (таблица S1).

Впоследствии использовали соль марганца (соль MnSO4) в натрий-фосфатном буфере. При этом получали MnNPs@CALB-P или MnNPs@CALB-P-NR соответственно. Рентгенограмма в обоих случаях показала одни и те же виды марганца, а именно Mn3(PO4)2·3H2O (рис. 3A) [24]. СЭМ-анализ показал аналогичные мезопористые структуры (рис. 3B,C). Это показывает, что шаг сокращения не имел никаких последствий.

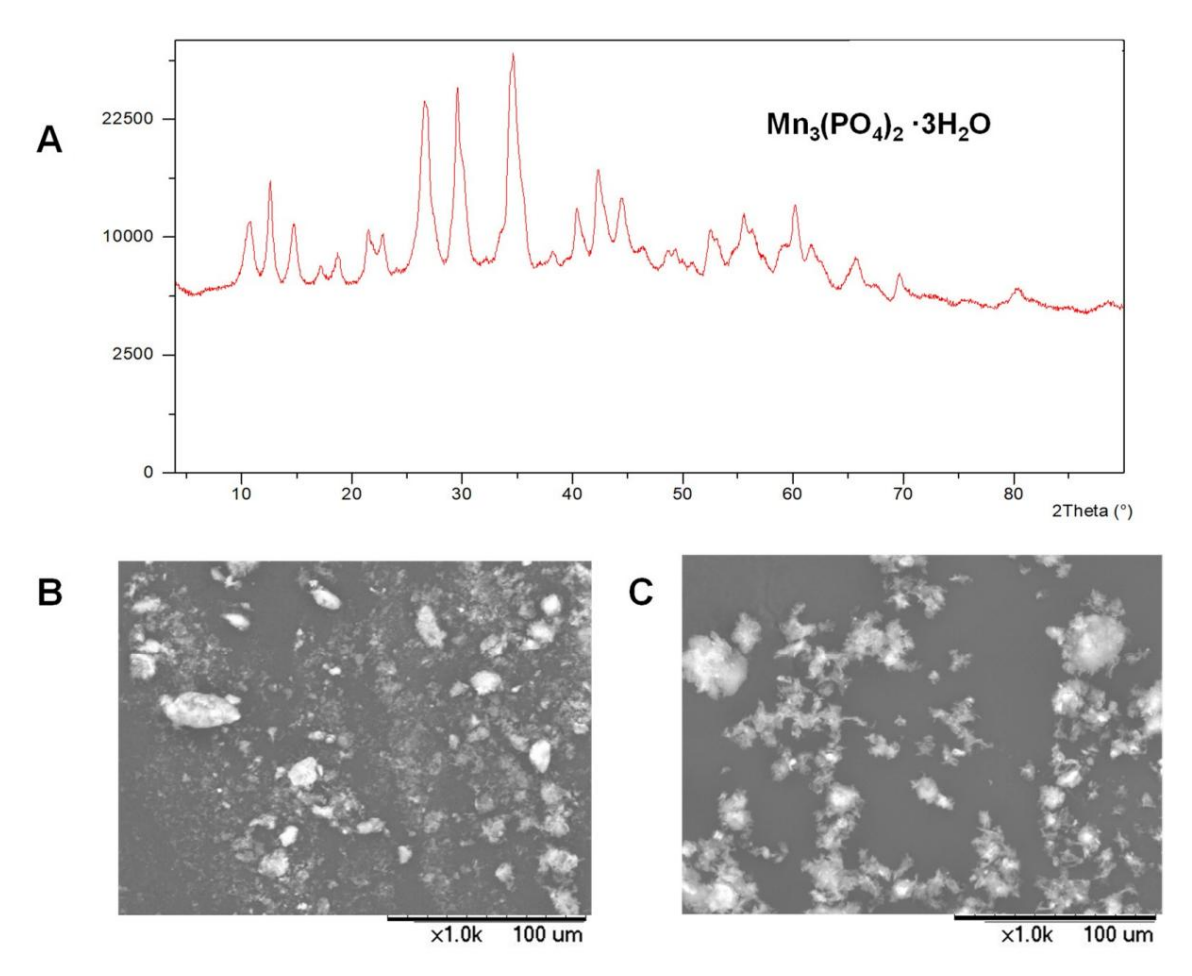
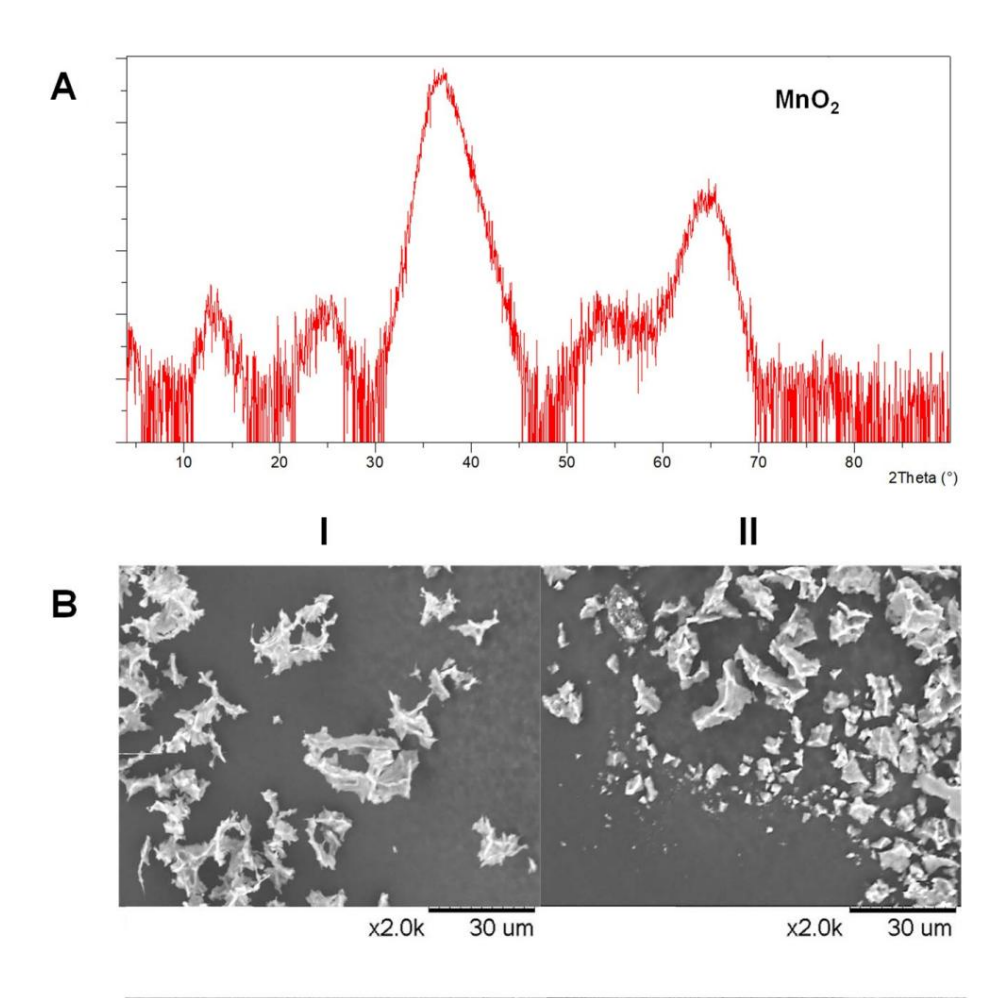


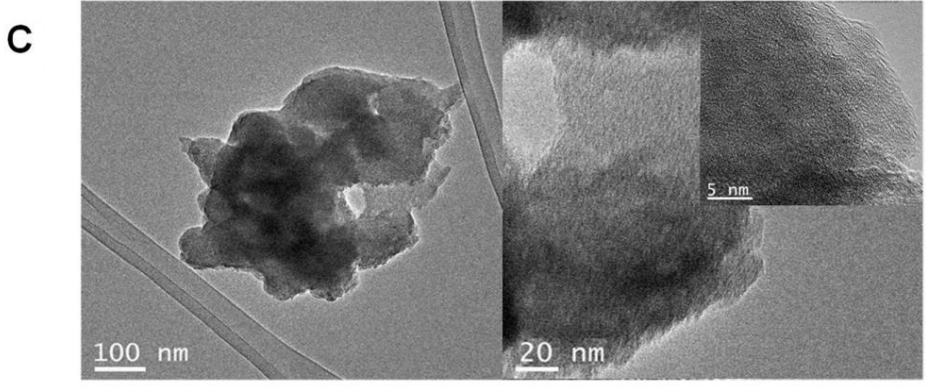
Рисунок З. Характеристика гибридов MnNPs@CALB: (A) Рентгеновский спектр; (B) СЭМ-изображения Рисунок З. Характеристика гибридов MnNPs@CALB: (A) Рентгеновский спектр; (B) СЭМ-изображения MnNPs@CALB-P-NR. MnNPs@CALB-P; (C) СЭМ-изображения MnNPs@CALB-P-NR.

Кроме того, бионаногибриды получали также с использованием КМпО4 непосредственно в дистиллированной воде.

Помимо смены металла, еще одной вариацией системы стало введение других ферментов, таких как каркас, бычья каталаза (CATb). Как и другие металлы, серебро (AgNO3) и палладий (Na2PdCl4) для получения AgNPs@CATb и PdNPs@CATb соответственно.

Для синтеза гибрида AgNPs@CATb были образованы разные виды Ag, а именно Ag(0), Ag2O и AgO, как видно в спектре XRD (рис. 5A(I)). СЭМ анализ показал агрегат с мезопористой аморфной сверхструктурой, а На изображениях ПЭМ были обнаружены наночастицы размером от 10 до 20 нм из-за разного сформировались виды (рис. 5A(II,III) и S2). Количество Ag составило 34%, определено с помощью ICP-OES-анализ (таблица S1).





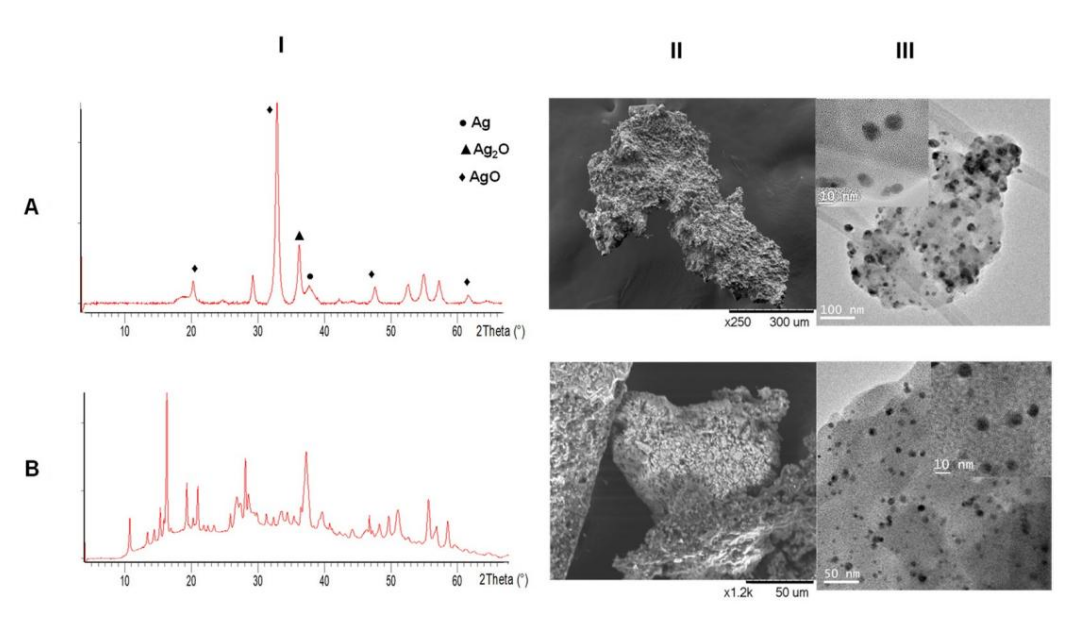
Ригодичном A жарыктеператилист и бөридөв MИ ЛИР БООСА ВВН-200 MИЛИ ЛИР БООСА ВВН-200 MИЛИ ЛИР БООСА ВВН-200 MИЛИ ЛИР БООСА ВВН-200 MИЛИ ЛИР БООСА В В M СПОСТВИТЕЛЬНО M СПОСТВ

оС другой стороны PdNPs@CATb был синтезирован с использованием бычьей каталазы в качестве составыя количество в может в каждом случае составляло в коло 25%, что определялось методом го складывать. Рентгеновский спектр подтвердил существование наночастиц хлорида палладия. ОЕS-анализ (таблица S1). (Рисунок 5В(I)) [26]. СЭМ-анализ продемонстрировал мезопористые структуры, а ПЭМ-изображения сферических смены металла, еще лин нариант внедрения системы показал образование небольших сферических сманочастиц со средним диаметром но им. (АРХИХУФКРУВНТЯВ) и четользовали для получения AQNPs@CATb и PdNPs@CATb соответственно

тивно.

Для синтеза гибрида AgNPs@CATb образовались различные виды Ag, а именно Ag(0), Ag2O и AgO, как видно в спектре XRD (рис. 5(AI)). СЭМ анализ продемонстрировал агрегат с мезопористой аморфной сверхструктурой, а изображения ПЭМ показали наночастицы размером от 10 до 20 нм из-за образовавшихся разных видов (рис. 5 (AII, III) и S2). Количество Ag составило 34%, определено с помощью

ICP-OES-анализ (таблица S1).



PPMCCCHOK 5. (A))Xeapertereporture ruftpmGarAgaNAs@NPXTO CATINA (A) Xeapertereporture ruftpmGarAfaNPs@CATIN (A) РФ Астискирь (Ш) к ЭМ кир ображания в 6 И И А ТОР И В Ображания в 6 И И В Ображания в

3.2. Каталазал елабиая, жимене был чин ребил чин ребил чин вы вы вычьей каталазы в качестве основы. склады.Ватце.Рвнүү-еибвикни ፍላሳ бендусвиденды.Снадывалчетурдагениялий.2021.в чистицумвовады гейлявдом (рис. 6А). м б чуе 5 (ВМ) в [226]м «ДЭНМ-на налга в горародных депропроправол по разголые куру в купив на СТЭМ приображения ПСКИВЗЭЩСАЦТВ-РОбюзвательнае беобхотвороск тороска талионестром с одхотельнойм всихометрьюм 2,5 ба/мир Элер шло (РАЗГРАВРЭГВІННЯ ТУЗУ) ЧУУЛИЧЕСЬ НО ЙВ ЗЗИЧВИНО СТРУМ ЧАНО ВИМО ИНО ЕДЕРА В ГРЕЗАЯ ВТВТАМ ICP-OES-(танкамиза» 10 остальными медными катализаторами CuNPs@CALB-P\* проявил в 5,5 раза меньшую активность. В случае катализатора, синтезированного при рН 10,0, можно наблюдать, что активность 3.近५%भिऽঞ্জির্রনা-क्रिता-क्र ६०राक्काराल-६०राक्कार्यनाम्प्रस्काराम्प्रकाराम्परकाराम्प्रकाराम्परकाराम्परकाराम्परकाराम्परकाराम्परकाराम्परकाराम्परकाराम्परकाराम्परकाराम्परकाराम्परकाराम्परकाराम्परकाराम्परकाराम्परकाराम्परकाराम्परकारम् время как CuNPs@CALB-B, содержащие преимущественно Cu(0), демонстрируют вдвое меньшую активность, чем CuNPs@CALB-B. Во-первых, гибриды Cu были оценены на предмет разложения H2O2 в дистиллированной воде (рис. CuNPs@CALB-B\*. Полученные результаты наглядно показали, что разложение 6A). В целом все медные катализаторы продемонстрировали каталазную активность, при этом перекись водорода была более эффективной в отношении частиц Cu(I). CuNPs@CALB-P оказался наиболее эффективным биокатализатором с удельной активностью 2,5 Ед/мг. С другой

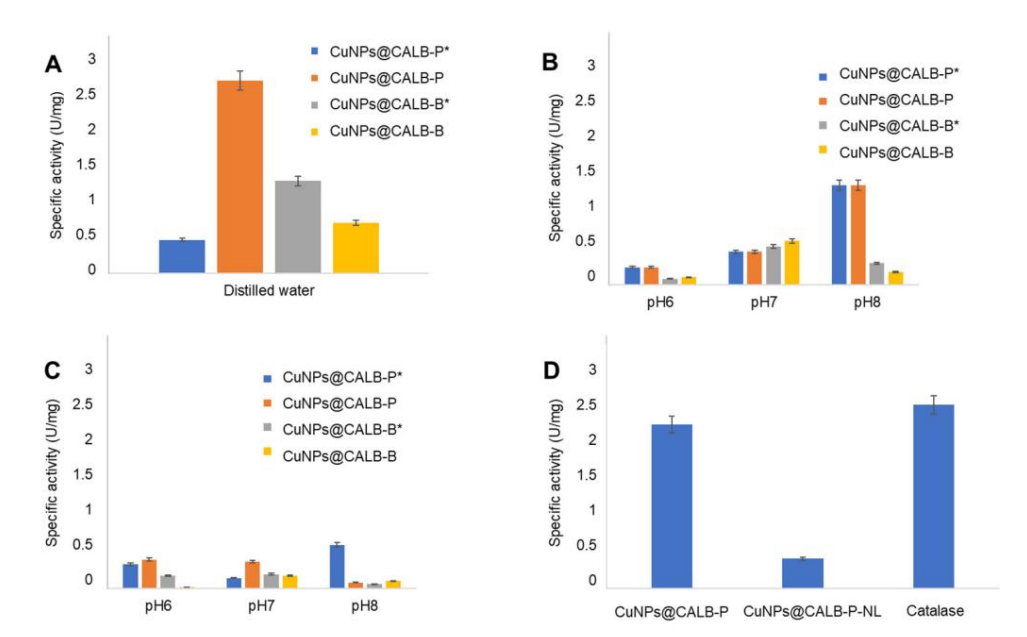
СШМР5@САLB-Р оказался найоболее эффективным биокатализатором с удельной активностью 2,5 Ед/мг. С другой стороны, другие тесты проводились в буферных растворах с низким или высоким было связано с наличием уникальной разновидности меди, а именно Cu2O. Сравнивая эту ионную силу (5 мм и 100 мм) в диапазоне рН от 6,0 до 8,0 (рис. 6В,С). В этих случаях, в результате с остальными медными катализаторами CuNPs@CALB-Р\* показал в 5,5 раз меньшую активность – наблюдалось общее снижение активности всех катализаторов, даже при очень низком буфере. итность. В случае катализатора, синтезированного при рН 10,0, можно наблюдать увеличение активности . В частности, при низкой ионной силе, когда рН был выше, они представили CuNPs @CALB-В\*, который имел большее присутствие окисленных частиц, имел лишь в два раза более высокую каталазную активность, хотя в случае CuNPs@CALB- при любом рН она представляла собой раз ниже, в то время как CuNPs@CALB-В, которые содержали в основном Cu(0), демонстрировали половину активность как минимум в шесть раз ниже, чем в дистиллированной воде. Когда среда имела высокий ионный CuNPs @CALB-В- Полученные результаты наглядно продемонстрировали, что по силе разложения результаты были хуже для всех случаев.

пероксида водорода был более эффективен для настиц Cu(I). Эти эффекты ингибирования фосфат-ионов при разложении перекиси водорода наночастицами меди можно объяснить, если принять во внимание некую связь фосфатная группа к меди, образуя промежуточные соединения и снижая реакционную способность катализатора. Действительно, это может быть подтверждено результатами, полученными при гибридном использовали медно-фосфатные соединения [23]. В этом случае каталазная активность этого Гибрид был более чем в 20 раз ниже в дистиллированной воде, чем гибриды Си, присутствующие в этой воде. работа (данные не показаны).

Поэтому для условий наибольшей активности CuNPs@CALB-P (дистиллированная вода) оценивали каталазную активность того же гибрида, но без обработки лиофилизацией. (Рисунок 6D) (CuNPs@CALB-P-NL), где наблюдалось снижение активности в 5,5 раз, что демонстрирует эффект присутствия частиц Cu(0). Наконец, активность CuNPs@CALB-P сравнивали с активностью свободной каталазы (рис. 6D), где активность 90% могла

После этого мы оценили гибриды MnNPs@CALB в лучших ранее изученных для меди условиях, то есть в дистиллированной воде (рис. 7). Катализаторы MnNPs@CALB-P и MnNPs@CALB-P-NR, которые содержат разновидности фосфата марганца, не обладали активностью.

Прил. Нано Приложение. Nano2022 2022, 3, 3, НА ЭКСПЕРТНУЮ РЕЦЕНЗИЮ



С другой стороны, другие тесты проводились в буферных растворах с низкой или высокой ионной силой (5 мМ и 100 мМ) в диапазоне рН от 6,0 до 8,0 (рис. 6В,С). В этих случаях наблюдалось общее снижение активности всех катализаторов даже при очень низких количествах буфера. В частности, при низкой ионной силе и более высоком рН они проявляли более высокую каталазную активность, хотя в случае сunns@calb-P при любом рН она проявляла активность как минимум в шесть раз ниже, чем в дистиллюрованной воде. Когда среда имела высокую ионную силу, результаты были хуже во всех случаях.

Этот эффект ингибирования фосфат-ионов при разложении перекиси водорода наночастицами межно объяснить, учитывая своего рода связывание фосфатной группы с медью, приводящее к образованию промежуточных частиц и снижению реакционной способности катализатора. Действительно, это может быть подтверждено результатами, полученными при использовании гибрида, сображащего частицы фосфата меди [23]. При этом каталазная активность этого гибрида в дистиллированной воде была более чем в 20 раз ниже, чем у гибридов Си, представленных в данной работе (данные не приведены).

Поэтому для условий наибольшей активности в CuNPs@CALB-Р (дистиллированная вода) оценивали каталазную активность того же гибрида, но без обработки лиофилизацией (рис. 6D) (CuNPs@CALB MNNPs@CALB где Наблюдалось снижение активности в 5,5 раз, что свидетельствует о влиянии присутствия частиц Cu(0). Наконец Рактивность CuNPs@CALB РСравнили с активьюстью свободной СаМа зы (рис. 6D), где Рисунок 7. Каталазоподобная активность гибридов MnNPs@CALB в дистиллированной воде.

Рисунок 7. Каталазоподобная активность 90% поченов MnNPs@CALB в дистиллированной воде. Пенгралы, ком ды вктивность гибридов MnNPs@CALB в дистиллированной воде. Пенгралы, ком ды вктивность ком раза выше, гом молированной воде. ТРЗОТър в дегибрине в в мере в мере в в мере в м

Прил. Нано 2022. 3

Наконец, два биогибрида драгоценных металлов (Ag и Pd) были синтезированы с использованием бычьей каталазы в качестве каркаса (AgNPs@CATb и PdNPs@CATb) для оценки потенциального синергетического эффекта между каталазой и наночастицами металлов. Однако удельная активность обоих катализаторов была очень низкой (более чем в 100 раз ниже, чем у гибрида Mn) (данные не приведены).

158

Это может быть связано с типом образующихся в каждом случае частиц металлов: PdCl2 для гибрида Pd и смесью различных оксидов серебра для гибрида Ag.

В литературе существуют разные методики деградации H2O2 как миметика активности каталазы. Некоторые из них используют комплексы благородных металлов, в ряде случаев нанесённые или трубчатые структуры, где необходимо синтезировать системы в агрессивных и токсичных условиях [27–30]. Таким образом, предложенная в нашей работе методология имеет преимущество в плане простоты и устойчивости при создании искусственных металлоферментов, способных разлагать H2O2 в водной среде при комнатной температуре.

#### 4. Выводы

В заключение, в этом исследовании мы представили простую, но универсальную стратегию получения искусственных металлоферментов с различной каталазоподобной активностью (MeNPs@Enzyme), основанную на применении фермента, который индуцирует образование in situ металлических наночастиц на белке. сеть.

Синтезированы различные бионаногибриды разных металлов (Cu, Mn, Pd, Ag) и оценена их способность разлагать перекись водорода при комнатной температуре в водных средах . MnNPs@CALB-H2O, образованный наноструктурами MnO2, продемонстрировал превосходную миметическую активность, даже в три раза превышающую активность природной каталазы.

Таким образом, эти результаты открывают потенциальное применение этих новых бионаногибридов. в сочетании с другими ферментативными системами для биологических и биомедицинских процессов.

Дополнительные материалы. Следующую вспомогательную информацию можно загрузить по адресу: https://www.mdpi.com/article/10.3390/applnano3030011/s1, Рисунок S1. (I) изображения ПЭМ; (II) Изображения HR-TEM. (A) CuNPs@CALB-P\*; (Б) CuNPs@CALB-P-NL; (С) CuNPs@CALB-B\*; (D) CuNPs@CALB- В. Рисунок S2. Характеристика AgNPs@CATb: (A) СЭМ-изображения; (Б) ПЭМ-изображение; Рисунок S3. Характеристика PdNPs@CATb: (A) СЭМ-изображения; (Б) ПЭМ-изображение; Рисунок S4. Каталазоподобная активность гибридов MnNPs@CALB в 5 мМ TRIS BASE pH 9 (синий) и 5 мМ MES pH 5 (оранжевый).

Вклад авторов: НЛ-Г., АР-О., КО-Н. и А.А. провели эксперименты; JMP разработал и контролировал исследование и эксперименты: и JMP и NL-G. написал рукопись. Все авторы прочитали и согласились с опубликованной версией рукописи.

Финансирование: Эта работа была поддержана правительством Испании: Испанским национальным исследовательским советом (CSIC) (PTI-Health CSIC SGL2103036).

Заявление о доступности данных: Не применимо.

Таблица S1. Синтез гибридов MeNPs@Enzyme.

Благодарности: Авторы благодарят Рамиро Мартинеса из Novozymes.

Конфликты интересов: Авторы заявляют об отсутствии конфликта интересов.

# Рекомендации

- 1. Ву, 3.; Лю, М.; Лю, 3.; Тиан, Ю. Визуализация в реальном времени и одновременная количественная оценка митохондриального H2O2 и ATФ в нейронах с помощью одного двухфотонного зонда, основанного на флуоресценции и времени жизни. Варенье. хим. Соц. 2020, 142, 7532–7541. [Перекрестная ссылка] [ПабМед]
- 2. Песня, Х.; Бай, С.; Курица.; Ван, Р.; Син, Ю.; Льв, Ц.; Ю, Ф. Оценка повреждений перекисью водорода в режиме реального времени на моделях мышей с легочным фиброзом с помощью митохондриально-ориентированного флуоресцентного зонда ближнего инфракрасного диапазона. ACS, сен. 2021 г., 6, 1228-1239. [Перекрестная ссылка] [ПабМед]
- 3. Филип, К.; Альбу, Э. (ред.) Активные формы кислорода (АФК) в живых клетках; IntechOpen: Лондон, Великобритания, 2018 г.
- 4. Бай, З.; Ли, Г.; Лян, Дж.; Су, Дж.; Чжан, Ю.; Чен, Х.; Хуанг, Ю.; Суй, В.; Чжао, Ю. Неферментативный электрохимический биосенсор на основе наногибридов PtNP/RGO-CS-Fc для обнаружения перекиси водорода в живых клетках. Биосенс. Биоэлектрон. 2016, 82, 185–194. [Перекрестная ссылка] [ПабМед]
- 5. Рашид, RT; Мансур, HS; Абдулла, Т.А.; Южакова Т.; Аль-Джаммаль, Н.; Салман, AD; Аль-Шейхли, PP; Ле, ПК; Домокос, Э.; Абдулла Т.А. Синтез, характеристика наночастиц V2O5 и определение активности миметика каталазы новым колориметрическим методом. Дж. Терм. Анальный. Калорим. 2021, 145, 297–307. [Перекрестная ссылка]

Прид. Нано 2022. 3

- 6. Нанди А.; Ян, ЖЖ; Яна, СК; Дас, Н. Роль каталазы в окислительном стрессе и возрастных дегенеративных заболеваниях. Оксид. Мед. Клетка. Лонгев. 2019, 13, 123–132. [Перекрестная ссылка]
- 7. Али, Ф.; Мансур, Ю.; Хан, Финляндия; Проложенный.; Хан, МКА; Чандрашекхараия, Канзас; Сингх, ЛР; Дар, Т.А. Влияние осмолитов полиолов на структурно-функциональную целостность и склонность к агрегации каталазы: комплексное исследование, основанное на измерениях спектроскопического и молекулярно-динамического моделирования Межл. Ж. Биол. Макромол. 2022. 209. 198–210. [Перекрестная ссылка]

159

- 8. Нантапонг, Н.; Мурата, Р.; Тракулналеамсай, С.; Катаока, Н.; Якуши, Т.; Мацусита, К. Влияние активных форм кислорода (АФК) и ферментов, поглощающих АФК, супероксиддисмутазы и каталазы, на термотолерантную способность Corynebacterium qlutamicum. Прил. Микробиол. Биотехнология. 2019, 103, 5355-5366. [Перекрестная ссылка]
- 9. Фернандес-Лафуэнте, Р. Стабилизация мультимерных ферментов: стратегии предотвращения диссоциации субъединиц. Ферментный микроб. Технол. 2009. 45. 405–418. [Перекрестная ссылка]
- 10. Хромик-Яхефендик, А. Тестирование температурной и рН-стабильности фермента каталазы в присутствии ингибиторов. Период. англ. Нат. наук. 2022. 10. 18–29. [Перекрестная ссылка]
- 11. Кормод, Д. П.; Гао, Л.; Ку, Х. Новые биомедицинские применения ферментоподобных каталитических наноматериалов. Тенденции Биотехнологии. 2018, 36, 15–29. [Перекрестная ссылка]
- 12. Цзяо, М.; Ли, З.; Чжан, З.; Юань, К.; Врисекуп, Ф.; Лян, Х.; Лю, Дж. Решение проблемы побочных продуктов H2O2 с использованием нанозимного каскада, имитирующего каталазу, для усиления оксидазы гликолевой кислоты. хим. англ. J. 2020, 388, 124249. [CrossRef]
- 13. Чжан Х.; Ян, К.Л. Формирование и иммобилизация наночастиц золота на полидиметилсилоксане (ПДМС) in situ, демонстрирующие каталазо-миметическая активность. хим. Коммун. 2020, 56, 6416–6419. [Перекрестная ссылка]
- 14. Чжан Дж.; Лу, Х.; Тан, Д.; Ву, С.; Хоу, Х.; Лю, Дж.; Ву, П. Фосфоресцентные углеродные точки для высокоэффективной фотосенсибилизации кислорода и в качестве фотоокислительных нанозимов. Приложение ACS. Матер. Интерфейсы 2018, 10, 40808–40814. [Перекрестная ссылка] [ПабМед]
- 15. Чен, Х.; Зайбер, Дж. Н.; Хотце, М. Выбор АСЅ по нанотехнологиям в области продовольствия и сельского хозяйства: взгляд на последствия и Приложения. Дж. Агрик. Пищевая хим. 2014, 62, 1209-1212. [Перекрестная ссылка] [ПабМед]
- 16. Чен, В.; Чен, Дж.; Фэн, Ю.Б.; Хонг, Л.; Чен, QY; Ву, Л.Ф.; Лин, Х.-Х.; Ся, Х.-Х. Пероксидазоподобная активность водорастворимых наночастиц оксида меди и ее аналитическое применение для обнаружения перекиси водорода и глюкозы. Аналитик 2012, 137, 1706–1712.
  [Перекрестная ссылка] [ПабМед]
- 17. Лу, Л.; Ван, Х.; Сюн, К.; Яо, Л. Последние достижения в области биологического обнаружения с использованием магнитных наночастиц в качестве полезного инструмента. наук. Китайская хим. 2015, 58, 793–809. [Перекрестная ссылка]
- 18. Ван, К.; Вэй, Х.; Чжан, З.; Ван, Э.; Донг, С. Нанозим: новая альтернатива природным ферментам для биосенсорства и иммуноанализа. Тренд Аналитик. хим. 2018, 105, 218-224.
- 19. Ву, Джей-Джей; Ван, ХҮ; Ван, К.; Лу, ЗП; Ли, СР; Чжу, ГГ; Цинь, Л.; Вэй, Х. Наноматериалы с ферментоподобными характеристиками (нанозимы): искусственные ферменты нового поколения (II). хим. Соц. Ред. 2019, 48, 1004–1076. [Перекрестная ссылка]
- 20. Лосада-Гарсия, Н.; Хименес-Алесанко, А.; Веласкес-Кампой, А.; Абиан, О.; Паломо, Дж. М. Гибридные нанозимы фермента и наномеди: Модулирование ферментоподобной активности с помощью белковой структуры для биосенсорной и каталитической терапии опухолей. Приложение ACS.

  Матер. Интерфейсы 2021, 13, 5111–5124. [Перекрестная ссылка]
- 21. Паломо, Дж. М. Нанобиогибриды: новая концепция синтеза металлических наночастиц. хим. Коммун. 2019, 55, 9583–9589. [Перекрестная ссылка]
- 22. Филиче, М.; Лосада-Гарсия, Н.; Перес-Рискес, К.; Марчелло, М.; Моралес, МDР; Паломо, Дж. М. Биогибриды наночастиц палладия в прикладной химии. Прил. Нано 2020, 2, 1–13.
- 23. Лосада-Гарсия, Н.; Родригес-Отеро, А.; Паломо, Дж. М. Индивидуальный синтез гетерогенных нанобиогибридов фермента и меди и их применение в селективном окислении бензола до фенола. Катал. наук. Технол. 2020. 10. 196–206. [Перекрестная ссылка]
- 24. Муниемана, Д.К.; Он, Х.; Дин, С.; Инь, Дж.; Си, П.; Сяо, Дж. Синтез гибридных наноцветов фосфата марганца путем биоминерализации на основе коллагена. РСК Адв. 2018, 8, 2708–2713.
- 25. Ли, Ю.; Сяо, Л.; Лю, Ф.; Доу, Ю.; Лю, С.; Фан, Ю.; Ченг, Г.; Сонг, В.; Чжоу, Дж. Поддержка структуры ядро-оболочка наночастиц Ag@Pd на слоистой подложке MnO2 в качестве катализатора окисления толуола. Дж. Нанопарт. Pes. 2019, 21, 28. [CrossRef]
- 26. Манепалли, РКНР; Мадхав, БТП; Гиридхар, Г.; Шринивасулу, М.; Теджасви, М.; Сиварам, К.; Джаяпрада, П.; Писипати, ВГКМ Характеристика и мезоморфное поведение жидких кристаллов с дисперсными наночастицами PdCl2. Лик. Крист. Сегодня 2017, 26, 32–38.
- 27. Чайбахш, Н.; Моради-Шойли, З. Ферментативно-миметическая активность шпинельзамещенных наноферритов (MFe2O4): обзор синтеза, Механизм и возможные применения. Матер. наук. англ. С 2019, 99, 1424–1447. [Перекрестная ссылка]
- 28. Марр, К.М.; Чен, Б.; Моотц, Э.Дж.; Гедер, Дж.; Прюсснер, М.; Мельде, Би Джей; Ванфлит, РР; Мендинц, Иллинойс; Айверсон, Б.Д.; Клауссен, Дж. К. Мембраны из углеродных нанотрубок с высоким соотношением сторон, украшенные ежами из наночастиц Рt, для приведения в движение микроподводных аппаратов за счет разложения H2O2. ACV Нано 2015. 9. 7791–7803. Перекрестная ссылка
- 29. Чжан Х.; Дэн, Х.; Цэяо, К.; Лу, Л.; Чжан С. Получение и каталитическая активность при разложении Н2О2 биметаллических наночастиц Rh/Au. Матер. Рез. Бык. 2016, 79, 29–35.
- 30. Есмурзаева, Н.Н.; Нурахметова З.А.; Татыханова, Г.С.; Селенова, Б.С.; Кудайбергенов С.Е. Каталитическая активность золота и наночастицы серебра, нанесенные на оксид цинка. Супрамол. Катал. 2015, 2, 1–8. [Перекрестная ссылка]